

# 西太平洋热带海域湍流通量以及 海面粗糙度 $Z_0$ 和曳力系数 $C_D$ 的观测研究 \*

熊 康

(中国科学院大气物理研究所)

## 提 要

本文利用 1987 年西太平洋热带海域考察期间系留气艇所取得的廓线资料, 用相似理论半经验的通量—廓线关系, 给出这一海域的湍流热通量和动量通量, 并且对海面粗糙度长度  $Z_0$ , 曳力系数  $C_D$  及其与风速的关系等作了初步的研究, 给出了一些经验公式, 并与其他研究者的研究结果作了比较。

关键词: 粗糙度; 曳力系数; 湍流通量.

## 一、引 言

1982—1983 年间, 赤道太平洋出现了本世纪以来最强的一次 El Niño 事件, 给全球带来了严重的气候异常和社会经济影响, 估计全世界的经济损失达 1—2 百亿美元<sup>[1]</sup>, 引起了各国政府的重视, 为了揭示这一现象的本质, 必需认识全球热带海洋和大气运动以及它们相互作用的物理规律, 为此世界各国投入了大量的人力物力. 世界气候研究计划提出的为期 10 年的研究热带海洋和全球大气环流关系的国际合作计划(TOGA), 就是这一领域内采取的一个重要战略步骤. 在此形势下, 中国科学院《西太平洋热带海域海气相互作用和气候年际变化研究》计划诞生了. 1987 年 10 月 4 日—11 月 24 日在菲律宾以东辽阔的西太平洋热带海域上( $125^{\circ}\text{E}$ — $150^{\circ}\text{E}$ ,  $13^{\circ}\text{N}$ — $5^{\circ}\text{S}$ )进行了该计划的第二次正式大规模气象、海洋及海气相互作用的综合观测, “科学一号”、“实验二号”两船成功地进行了同步观测.

海洋近地层湍流动量、热量通量是表征大气与海面之间作用强弱的重要参量, 它们与湍强之间有着密切联系. 用海上风、温廓线的观测资料, 利用相似理论半经验的通量—廓线关系, 推算海上湍流通量值, 以及曳力系数  $C_D$  值等, 无疑具有重要的实际价值. 为此本文利用在 6 个连续测站上( $5^{\circ}\text{N}$ ,  $130^{\circ}\text{E}$ ;  $5^{\circ}\text{N}$ ,  $140^{\circ}\text{E}$ ,  $5^{\circ}\text{N}$ ,  $150^{\circ}\text{E}$ ;  $0^{\circ}$ ,  $140^{\circ}\text{E}$ ;  $0^{\circ}$ ,  $145^{\circ}\text{E}$ ,  $0^{\circ}$ ,  $150^{\circ}\text{E}$ )的小型系留气艇探测系统所测得的该海域大气风、温

1988 年 8 月 29 日收到, 1989 年 2 月 28 日收到修改稿.

\* 附东、安磊民参加了观测工作.

廓线资料，推算出这一海域的湍流动量、热量通量值，曳力系数  $C_D$  值等。

## 二、湍流通量的计算

近地层是大气边界层最低层，也是指各种湍流垂直通量可以认为是常数的层次。在这一层中，风速切变和下垫面加热或冷却作用都很明显，这一层中的运动，除了紧靠下垫面表面很薄的层流副层外，具有极明显的湍流运动性质。在湍流运动中，忽略分子运动对通量的贡献，于是有：

$$F_m = -\rho \overline{u' w'} = \rho u_*^2, \quad (1)$$

$$H_s = C_p \rho \overline{\theta' w'} = -C_p \rho u_* \theta_*, \quad (2)$$

其中  $C_p$  是定压比热， $\rho$  是大气密度， $u_*$  是摩擦速度， $\theta_*$  是特征温度。在  $u_*$ ， $\theta_*$  已知的情况下湍流动量通量  $F_m$  和热通量  $H_s$  就不难得到了。

根据近地层的 M-O 相似理论，无量纲风速梯度和温度梯度可以写成：

$$\frac{KZ}{u_*} \frac{\partial \bar{u}}{\partial Z} = \varphi_m(\rho), \quad (3)$$

$$\frac{KZ}{\theta_*} \frac{\partial \bar{\theta}}{\partial Z} = \varphi_h(\rho). \quad (4)$$

要求得  $u_*$ ， $\theta_*$  必须给出  $\varphi_m(\rho)$  和  $\varphi_h(\rho)$  的形式，对此很多作者进行了研究。本文计算选取的  $\varphi_m(\rho)$  和  $\varphi_h(\rho)$  的经验公式如下：

$$\varphi_m = \left( 1 - 16 \frac{Z}{L} \right)^{-1/4} \quad L < 0, \quad (5)$$

$$\varphi_m = 1 + 5 \frac{Z}{L} \quad L > 0, \quad (6)$$

$$\varphi_h = \left( 1 - 16 \frac{Z}{L} \right)^{-1/2} \quad L < 0, \quad (7)$$

$$\varphi_h = 1 + 5 \frac{Z}{L} \quad L > 0. \quad (8)$$

即当  $L < 0$  时， $\varphi_m^2 = \varphi_h$ ，当  $L > 0$  时  $\varphi_m = \varphi_h$ 。

对方程(5)–(8)积分可以得到下列风、温度廓线的显式表达式：

$$\frac{\bar{u}}{u_*} = \frac{1}{K} \left( \ln \frac{Z}{Z_0} - \psi_1 \right) \quad \rho < 0, \quad (9)$$

$$\begin{aligned} \text{式中} \quad \psi_1 &= 2 \ln [(1+x)/2] + \ln [(1+x^2)/2] - 2 \arctg x + \frac{\pi}{2} \\ x &= \left( 1 - 16 \frac{Z}{L} \right)^{1/4} = \varphi_m^{-1} \end{aligned} \quad \left. \right\}$$

$$\frac{\bar{u}}{u_*} = \frac{1}{K} \left( \ln \frac{Z}{Z_0} + 5 \frac{Z}{L} \right) \quad L > 0, \quad (10)$$

$$\frac{\bar{\theta} - \theta_*}{\theta_*} = \ln \frac{Z}{Z_0} - \psi_2 \quad L < 0, \quad (11)$$

$$\text{式中 } \psi_2 = \ln[(1+y)/2], \quad y = \left(1 - 16 \frac{Z}{L}\right)^{1/2} = \varphi_h^{-1}$$

$$\frac{\bar{\theta} - \theta_0}{\theta_*} = \ln \frac{Z}{Z_0} + 5 \frac{Z}{L} \quad L > 0, \quad (12)$$

式中  $K=0.4$  是卡曼常数,  $\bar{\theta}$ ,  $\theta_0$  为位温, 由于计算范围是在离下垫面 30m 以下的近地层, 气压在 1000 hPa 左右, 故实际计算时用  $\bar{T}$  和  $T_0$  代替  $\bar{\theta}$  和  $\theta_0$  的误差可以忽略,  $T_0$  是对  $Z=Z_0$  的外推温度.

应该说明的是, 上述公式是陆面上经过验证的, 在海面上是否适用, 还没有得到证实, 但本文所用海上观测资料有限, 尚不足以确定海上的  $\varphi_m$  和  $\varphi_h$ . 进一步积累海上观测资料, 研究海面上的  $\varphi_m$  和  $\varphi_h$  的形式, 正是下一步要做的工作.

无因次高度  $\zeta$  可由其与理查孙数的关系式求得:

$$\left. \begin{array}{ll} \zeta = Ri & \zeta < 0 \\ \zeta = \frac{Ri}{1-5Ri} & \zeta > 0 \end{array} \right\}. \quad (13)$$

在近地层中, 理查孙数的定义为:

$$Ri = \frac{g}{T} \cdot \frac{\partial \bar{\theta} / \partial Z}{(\partial \bar{u} / \partial z)^2}. \quad (14)$$

具体计算采用对数差分代替微分:

$$Ri = \frac{g}{T} \left[ \frac{\Delta T}{\sqrt{Z_1 Z_2} (\ln(Z_2/Z_1))} + Y_d \right] \times \left[ \frac{\sqrt{Z_1 Z_2} \ln(Z_2/Z_1)}{\Delta u} \right]^2. \quad (15)$$

为尽可能避免船体的热力和动力影响, 我们取  $Z_2=18m$ ,  $Z_1=6m$ , (15) 式计算出代表  $Z_1$ ,  $Z_2$  的几何平均高度  $\sqrt{Z_1 Z_2}=10.39m$  上的  $Ri$  值.

当廓线的观测值可得到时, 用最小二乘法把  $\bar{U}$  和  $\bar{T}$  的平滑廓线与 (9) — (12) 式拟合, 即可得到  $U_*$ ,  $T_*$ , 原则上也可以得到  $Z_0$ . 然后由 (1), (2) 式可以简便地得到湍流流动量通量  $F_m$  和热量通量  $H_s$ . 然而,  $Z_0$  的精确确定很不容易, 单用廓线拟合方法所得的粗糙度  $Z_0$  的分布, 离散性很大. 在波罗的海和北海上以稳定浮标的 860 个廓线测定值所得的粗糙度  $Z_0$  的分布范围是:  $10^{-5}cm - 10cm^{[2]}$ . 我们对系留气艇所测得的 40 多条风廓线资料进行拟合, 结果  $Z_0$  的分布与此类似. 这固然是由于海上实况精确测量的困难性造成的; 同时, 由于海面粗糙度较小(一般在  $10^{-4} m$  量级), 而风速的测定精度也只能达到  $0.1m/s$ . 这可能是  $Z_0$  分布离散的一个根本原因.

为了较好地确定  $Z_0$  值, 根据海面粗糙度的特点, 我们试图建立海面粗糙度  $Z_0$  与海上某一高度上风速的关系. 这样, 我们就可以根据海上某一高度上的风速来确定该海域的粗糙度了. 为此, 我们采用以下方法来确定粗糙度  $Z_0$ .

Charnock<sup>[3]</sup> 最早利用了下式:

$$Z_0 = \frac{U_*^2}{g} a_1 \left( \frac{\rho}{\tilde{\rho}} \right), \quad (16)$$

式中  $\tilde{\rho}$  为海水密度,  $\rho$  为空气密度.

文献[4]检验了(16)式，对实验资料整理结果表明，公式是符合实验资料的，常数 $a_1(\rho / \tilde{\rho}) = 0.075$ 。

我们先用风廓线求得的 $Z_0$ 值，代入(9)或(10)式，求得 $u_*$ ，然后代入(16)式求得 $Z_0^{(1)}$ ，再将 $Z_0^{(1)}$ 代入(9)或(10)式，得到 $u_*$ ，再代入(16)式得 $Z_0^{(2)}$ ，以此类推逐步进行迭代，直到：

$$E = |(u_*^{(n)} - u_*^{(n+1)}) / u_*^{(n)}| \leq 1\%$$

此时得到稳定的粗糙度 $Z_0 = Z_0^{(n+2)}$ 和 $u_* = u_*^{(n+1)}$ 。实际计算表明迭代过程收敛很快，一般迭代4—5次就可达到所要求精度。

由海—气整体输送系数的方法，湍流动量通量可写成下式：

$$F_m = \rho C_D (\bar{u} - u_s)^2, \quad (17)$$

$u_s$ 为海面平均漂移速度， $u$ 通常为海面上20 m处风速值的3%不到，本文计算时略去不计。将(17)与(1)式联立，可得：

$$C_D = \frac{u_*^2}{\bar{u}^2}, \quad (18)$$

这里 $\bar{u}$ 为海面上10 m处的风速。

### 三、计算结果及其分析

根据上述的方法，我们可以得到稳定的粗糙度 $Z_0$ 以及 $u_*$ 和 $\theta_*$ ，进而计算出 $F_m$ 、 $H$ 和 $C_D$ 值。表1是根据实测廓线计算的上述各物理量的值。其中 $Z_0$ 的值与Brutsaert<sup>[5]</sup>(1975)的值在量级上是一致的，为 $10^{-4}$  m。图1是 $Z_0$ 与10 m高处的平均风速 $\bar{u}_{10}$ 的关系图。从图上可以看出， $\bar{u}_{10}$ 在2~10 m/s的范围内， $Z_0$ 的范围在0.1~1 mm之间，且 $Z_0$ 与 $\bar{u}_{10}$ 存在着很好的二次函数关系。对图1上的点，用最小二乘法拟

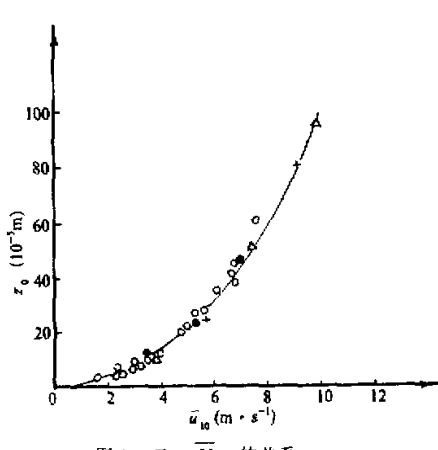


图1  $Z_0 \sim \bar{u}_{10}$  的关系

层结状况：●  $Ri > 0.01$  (稳定); +  $|Ri| \leq 0.01$  (近中性);  
△  $|Ri| \leq 0.001$  (中性); ○  $Ri < -0.01$  (不稳定)

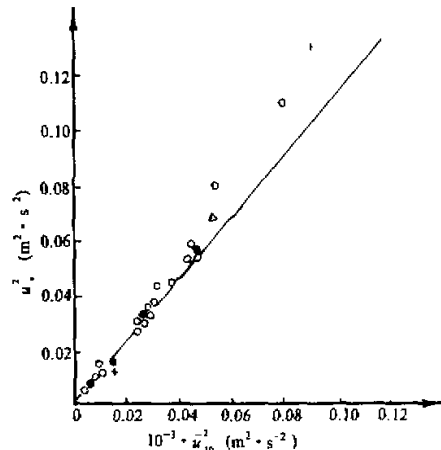


图2  $U_*^2$  与  $10^{-3} \bar{u}_{10}^2$  的关系

表1 计 算 结 果 (1987)

合, 得到:

$$Z_0 = 0.15 \overline{u}_{10}^2 - 0.48 \overline{u}_{10} + 0.75$$

整理后得:

$$Z_0 = 0.15 (\overline{u}_{10} - 1.6)^2 + 0.366 , \quad (19)$$

其中  $\overline{U}_{10}$  的单位为  $m/s$ ,  $Z_0$  的单位为  $10^{-4}m$ , 适应范围:  $1.6m/s < \overline{u}_{10} < 10m/s$ .

(19)式表明: 风越大, 粗糙度  $Z_0$  也越大. 这与风越大, 海上浪就越高, 从而海上粗糙度  $Z_0$  也大这一物理过程相吻合. 另外, 大气层结状况对  $Z_0$  也有一定影响, 在相同风速情况下,  $Z_0$  随  $-\zeta$  的增大稍有增大, 不过  $Z_0$  的大小主要地取决于风速的大小. 对于  $\overline{U}_{10} \leq 1.6m/s$  的情况, 由于海面比较光滑, 完全可以按“空气动力学平滑流”来处理, 此时地表的涡旋粘性值  $k u_* z_0$  可以变得和运动粘性  $v$  同一量级,  $Z_0$  可以用  $u_*/v$  来代替.

本文计算的曳力系数  $C_D = (1.11 \pm 0.16) \times 10^{-3}$  与表 2 和表 3 相比较, 差别不大, 尤其是与 Miyake 等的从速度协方差测得的  $C_D = (1.09 \pm 0.17) \times 10^{-3}$  和从风速廓线测定所得的  $C_D = (1.13 \pm 0.16) \times 10^{-3}$  结果非常一致.

表 2 从速度协方差测定得出的水上  $10m$  高度的曳力系数( $C_D$ )

研究者	观测航次	$C_D \times 10^3$	标准差
Weiler 和 Busling (1967)	10	1.31	0.36
Smith (1967)	8	1.03	0.18
Smith (1970)	32	1.35	0.34
Hasse (1968)	18	1.21	0.24
Miyake 等 (1970 a)	8	1.09	0.17

表 3 在中性条件下由风速廓线测定所得到的曳力系数( $C_D$ )

研究者	观测航次	$C_D \times 10^3$	标准差
Brooks (1969)	92	1.29	0.21
Hoeber (1969)	87	1.23	0.25
Miyake 等(1970 a)	8	1.13	0.16

图 2 上的直线所代表的是  $C_D = 1.11 \times 10^{-3}$ . 由于绝大部分的观测是在  $\overline{U}_{10} < 7(m/s)$  的情况下进行的, 这个结果 [ $C_D = (1.11 \pm 0.16) \times 10^{-3}$ ] 用于小风情况比较合适. 从图 2 也可以看出, 在  $\overline{U}_{10} < 7m/s$  时, 拟合点与直线有很好的一致性. 对于  $\overline{U}_{10} > 7m/s$  的几个拟合点, 则有一定的偏离, 且  $C_D$  随  $\overline{U}_{10}$  的增大有所增大. Brooks 也曾发现  $C_D$  随风速稍有增大 ( $\partial C_D / \partial u = 0.26 \times 10^{-3} s/m$ ). Miller (1964) 也曾提出曳力系数随风速而增大, 其增大率为:  $\partial C_D / \partial u \sim 0.075 \times 10^{-3} s/m$ .

对图 3 中属中性及近中性的 7 个点用最小二乘法进行拟合, 得到曳力系数  $C_D$  与风速  $\overline{U}_{10}$  在中性及近中性条件下相互关系的回归方程为

$$C_D = (0.60 + 0.089 \times \overline{U}_{10}) \times 10^{-3} . \quad (20)$$

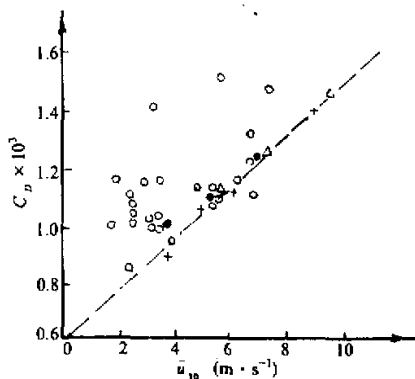
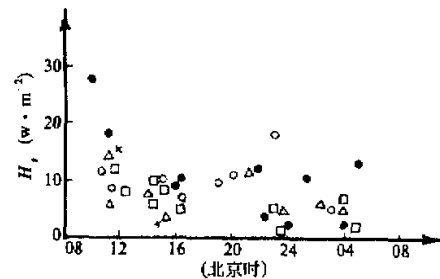
图3  $C_D \sim \bar{U}_{10}$  关系图

图4 湍流感热通量随时间变化图

● 5°N, 130°E; △ 0°, 140°E; ○ 0°, 145°E;  
□ 0°, 150°E; × 5°N, 140°E

由此我们可得在中性及近中性条件下曳力系数随风速的增大率为  $\frac{\partial C_D}{\partial u} = 0.089 \times 10^{-3}$  s/m。(20)式中  $U_{10}$  的范围是:  $3 < \bar{U}_{10} < 10$  (m/s), 由于在中性及近中性的观测次数所限, (20)式及由此得出的  $C_D$  随风速  $\bar{U}_{10}$  的增大率是相当粗略的。

表4给出了部分研究者所得到的中性曳力系数与风速关系的回归方程:

表4 中性曳力系数与风速关系的回归方程

研究者	$C_D \times 10^3$	适用范围(m/s)
Garratt (1977)	$0.75 + 0.067 u$	$4 < u < 21$
Loye 和 Pond (1981)	$0.44 + 0.063 u$	$10 < u < 21$
Wieringa (1974)	$0.86 + 0.058 u$	$5 < u < 15$
Smith 和 Banke (1975)	$0.63 + 0.066 u$	$3 < u < 21$
Smith (1980)	$0.61 + 0.063 u$	$6 < u < 22$
Geezennaert (1986)	$0.43 + 0.097 u$	$5 < u < 21$

图4是湍流感热通量随时间的变化图。从图4可以看到, 海洋上湍流热通量的一个突出特点是: 总是由海洋向大气输送热量。这与陆上的情形不同, 陆上在白天, 是由地面向大气输送热量; 晚上, 则是由大气向地面输送热量。另外, 从图4还可知: 海上湍流热通量不象陆上的湍流热通量那样有明显的日变化。

由公式(1)得出, 动量通量  $F_m$  与  $u^2$  成正比, 而  $u^2$  正比于  $u_{10}^2$ , 故  $u_{10}$  越大,  $F_m$  就越大。本文计算的平均动量通量  $F_m = 0.042$  (N/m<sup>2</sup>), 与其他研究者的结果相比较<sup>[6]</sup>, 在量级上是一致的。

#### 四、结束语

本文利用系留气艇在1987年西太平洋热带海域所取得的风、温廓线资料, 根据半经

验的通量—廓线关系，计算了该海域的湍流动量通量  $F_m$  和湍流感热通量  $H_s$ ，并对海面粗糙度  $Z_0$  和曳力系数  $C_D$  作了初步分析和研究，主要结果：

1. 利用经验公式  $Z_0 = \frac{u^2}{g} \alpha_1 \left( \frac{\rho}{\rho_a} \right)$  对由半经验的通量—廓线关系计算得到的  $Z_0$  和  $u_*$  进行迭代，求出了较为稳定的  $Z_0$  和  $u_*$ ，并且得到了  $Z_0$  和  $\bar{u}_{10}$  的经验公式：

$$Z_0 = 0.15 (\bar{u}_{10} - 1.6)^2 + 0.366,$$

其中  $\bar{u}_{10}$  的单位是  $m/s$ ,  $Z_0$  的单位为  $10^{-4}m$ , 适用范围:  $1.6 m/s < \bar{u}_{10} < 10 m/s$ .

2. 本文计算的曳力系数  $C_D = (1.11 \pm 0.16) \times 10^{-3}$ , 与不少研究者的结果相一致。另外发现  $C_D$  随风速稍有增大，其增大率为  $\partial C_D / \partial u = 0.089 \times 10^{-3} s/m$ .  $C_D$  与  $u_{10}$  在中性及近中性条件下相互关系的回归方程为：

$$C_D = (0.60 + 0.089 u_{10}) \times 10^{-3}.$$

3. 海上湍流感热通量与陆上不同。海上湍流感热通量总是由海洋向大气输送。海上湍流感热通量没有明显的日变化。其平均值  $\bar{H}_s = 8.3 w/m^2$ .

4. 湍流动量通量  $F_m$  与  $u_{10}$  成正比，其平均值为： $\bar{F}_m = 0.04 N/m^2$ .

### 参 考 文 献

- [1] 蒋宗诚, 1987. 埃尔尼诺/南方涛动现象与年际气候变化. 大气科学, 第11卷, 第2期, 209—219.
- [2] E. B. 柯劳斯, 1972. 大气和海洋的相互作用. 科学出版社, 170—172.
- [3] Charnock, H., 1955. Wind stress on a water surface. *Quart. J. Roy. Meteor. Soc.*, **81**(350), 639.
- [4] 莱赫特曼, 1973. 大气边界层物理学. 科学出版社, 51—155.
- [5] Brutsaert, W., 1975. The roughness length of water vapor sensible heat and other scalars. *J. Atmos. Sci.*, **32**, 2028—2031.
- [6] Pond, S., 1971. Measurement of the turbulent fluxes of momentum, moisture and sensible heat over the ocean. *J. Atmos. Sci.*, **28**(9), 901—907.